# 線対称の関係を導入した 骨格サンプルクラスタリングのための Line-symmetrical Sample k-means

宮部 大翔1 米田駿介1 井上 路子1 西山 正志1

1. 鳥取大学大学院 持続性社会創生科学研究科 パターン認識工学研究室



# 研究の背景 (1/2)

人物画像において推定された骨格サンプルから姿勢を調査したい

### ファッションモデルの姿勢

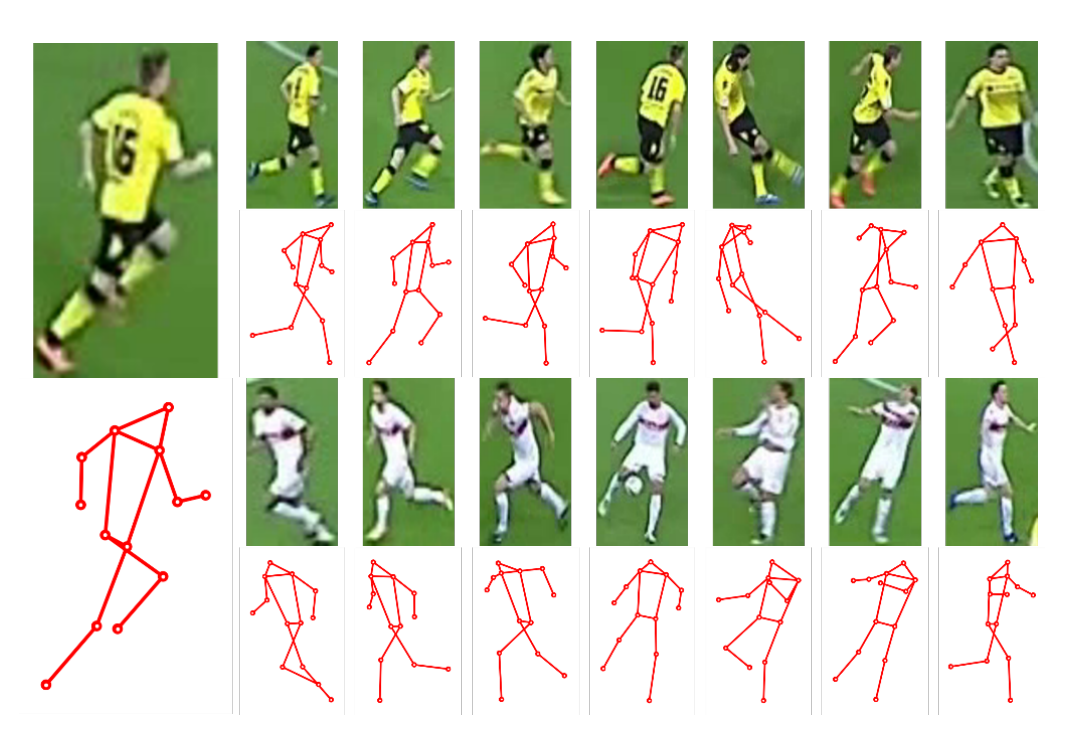
マーケティングへの応用のための調査

人物画像



## スポーツ選手の姿勢

重要局面でのパフォーマンス向上のための調査



人物がとる姿勢は多様であるため、全ての骨格サンプルを1つ1つ調査できない



# 研究の背景 (2/2)

ある概念に着目すると、一見異なる姿勢も類似しており単一のクラスタにまとめられる



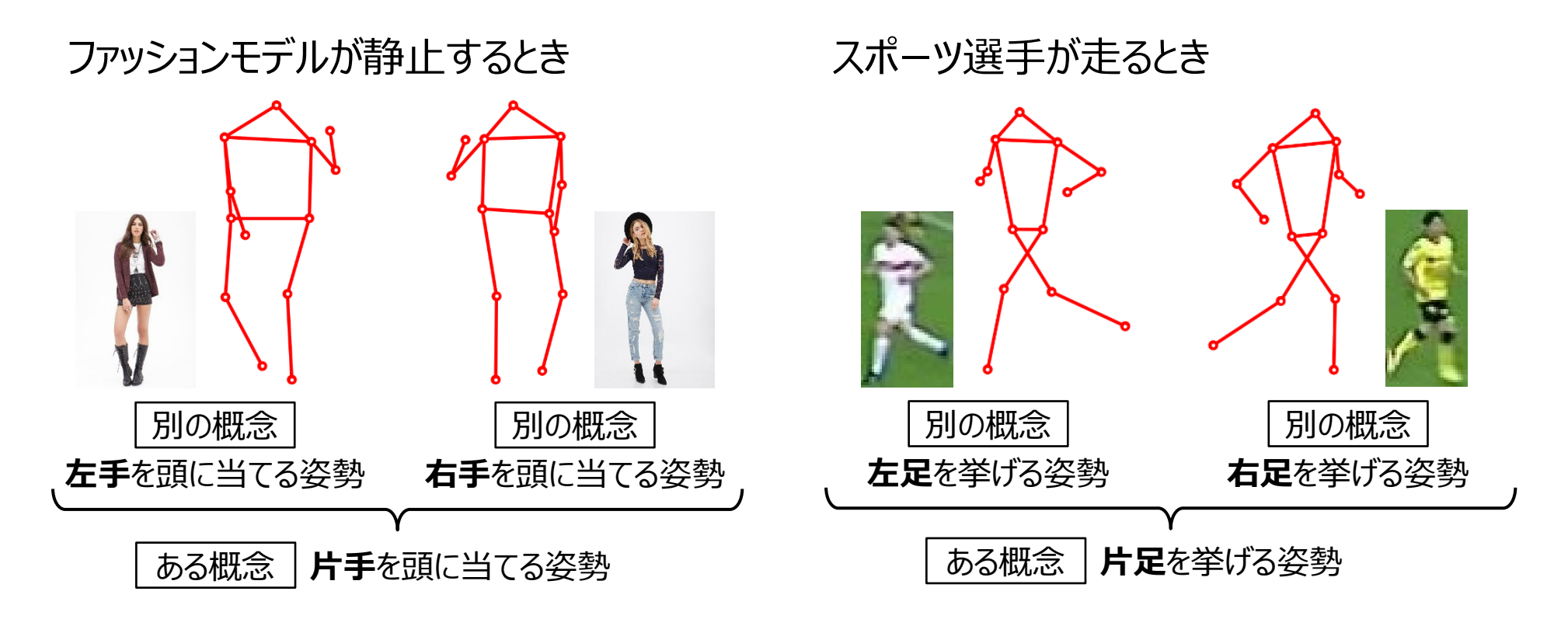
✓ 複数の姿勢は 単一のクラスタに まとめることが可能

姿勢の共通点に基づくクラスタリング技術が姿勢の調査に有効



## 姿勢を扱う際の注意点

- □ 姿勢の共通点を用いてクラスタリングする際に、**線対称の関係**に注意が必要
- □ **線対称の関係**にある姿勢:ある概念で見ると同一の姿勢、別の概念で見ると異なる姿勢

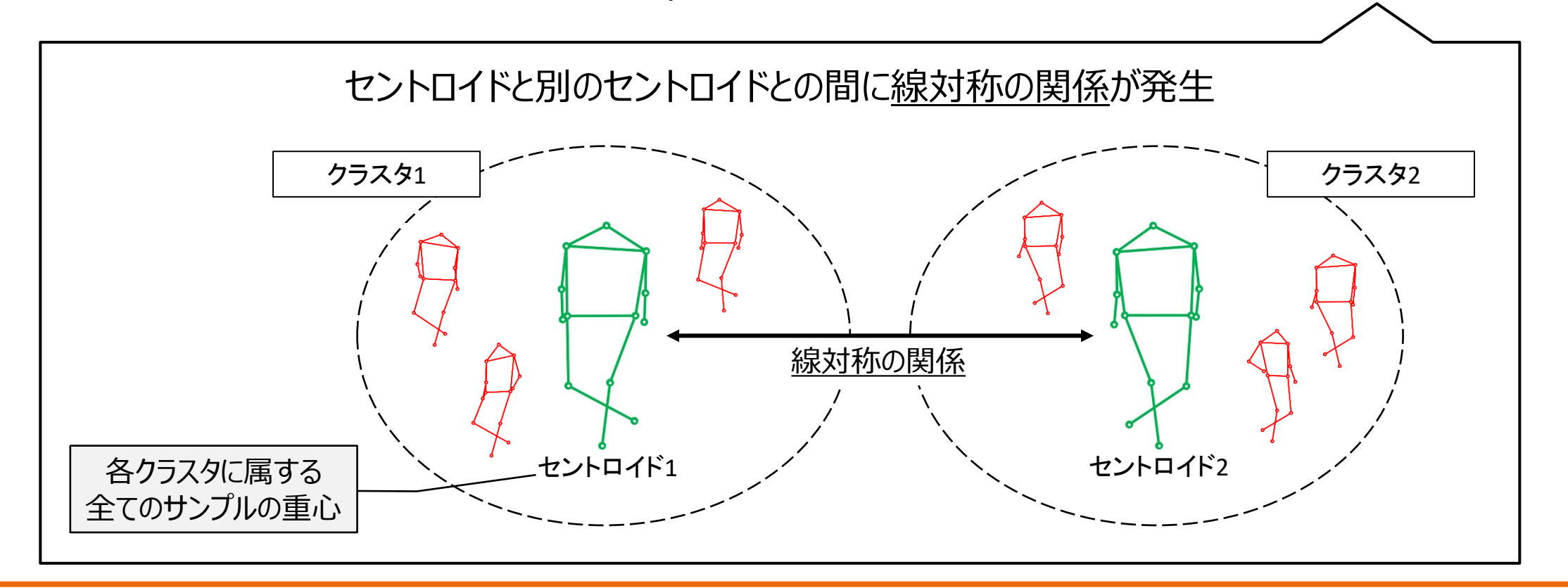


姿勢をクラスタリングする際に, 線対称の関係を考慮する必要がある



# 姿勢をクラスタリングするときの課題

- □ 代表的なクラスタリング手法[1,2,3]における, 距離尺度に注目
  - ☆ 線対称の関係が考慮されておらず、好ましくないクラスタリング結果となる課題が発生



姿勢の共通点でまとめた調査を行うとき、2つのクラスタは同一のクラスタにまとまることが好ましい



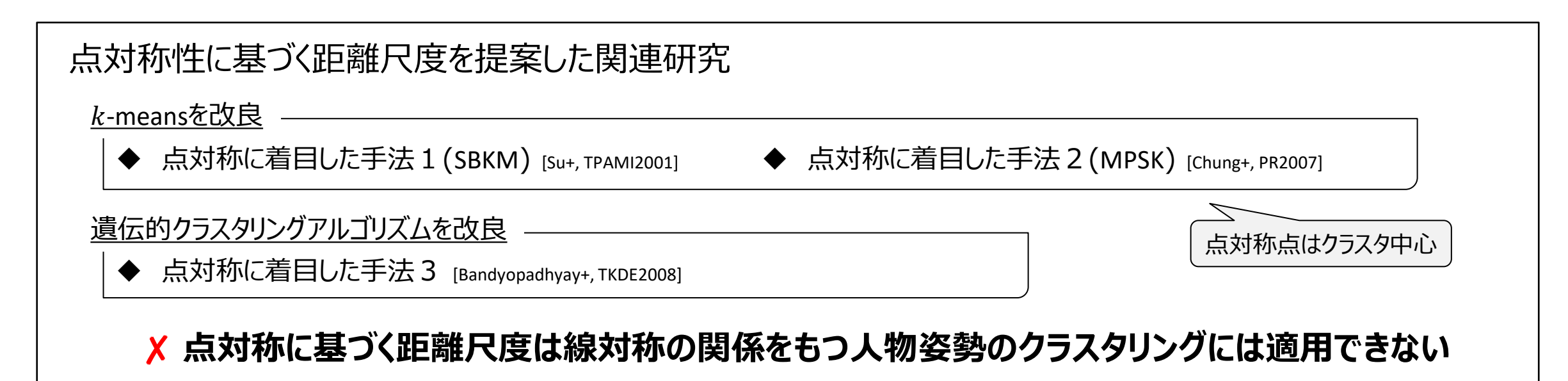
<sup>1.</sup> J.MacQueen "Some Methods for Classification and Analysis of Multivariate Observations" Proc. of Fifth Berkeley Symposium on Mathematical Statistics and Probability, 1967

<sup>2.</sup> D.Authur, S.Vassilvitskii "k-means++: The Advantages of Careful Seeding", SODA, 2007

<sup>3.</sup> Gang Li et al., "A genetic algorithm based clustering using geodesic distance measure", IEEE ICICS, 2009

## 関連研究の課題

- □ 姿勢をクラスタリングする際に、距離尺度に**線対称の関係**を考慮した手法が必要
- □ しかし、姿勢の線対称の関係に着目したクラスタリングの研究は取扱われてこなかった



線対称に着目した手法 [Chu+, TPAMI2007]

画像中の物体を対象とし、物体輪郭座標から画像内の線対称な物体を検出する手法

★ 物体の輪郭の線対称を対象としており、骨格サンプルを入力とするクラスタリングにそのまま適用できない

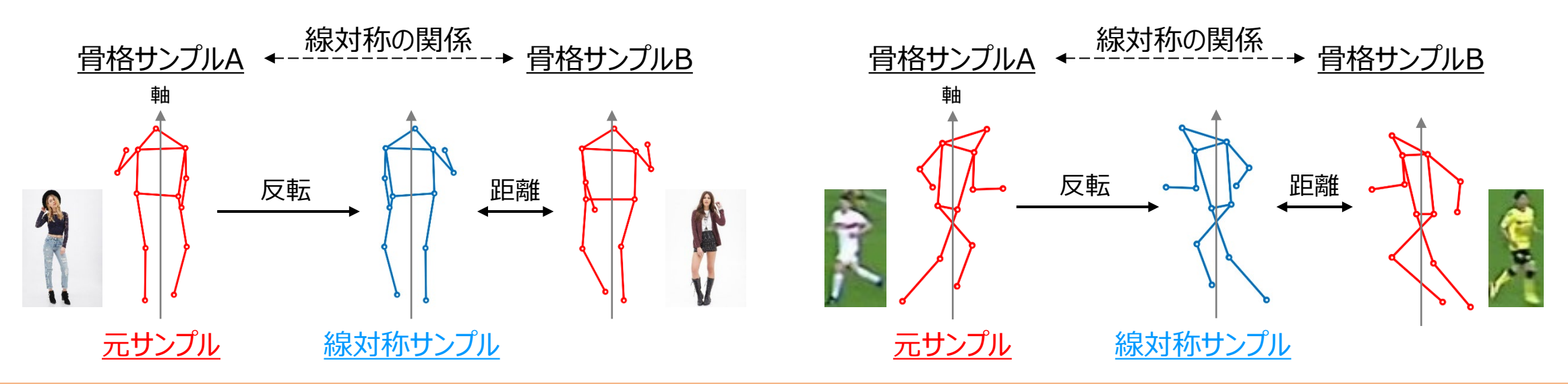


## 研究の目的

## 大量の姿勢から姿勢の共通点でまとめられた代表姿勢を調査するために 線対称の関係にある骨格サンプルを同一のクラスタにまとめるクラスタリング手法を設計

#### - 本研究における線対称の関係の表現

- 1. ある骨格サンプルが与えられたとき, それを<u>元サンプル</u>とする
- 2. その元サンプルに属するキーポイントをある軸を基準に反転させ、線対称サンプルに変換する
- 3. 別の骨格サンプルと線対称サンプルとの間の距離が近くなる状態を、線対称の関係とする





# 提案手法のアイデア(1/3)

アイデア

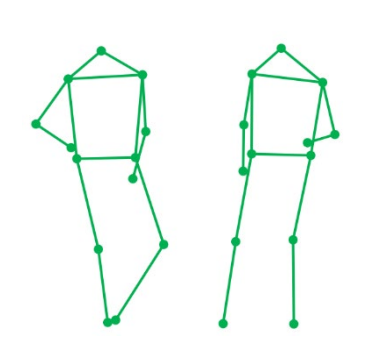
与えられた骨格サンプルを<u>元サンプル</u>と<u>線対称サンプル</u>へ変換することで 線対称の関係にあるかどうかを考慮しながら距離の計算を行いクラスタリング

提案手法: Line-symmetrical Sample k-means (LS k-means)

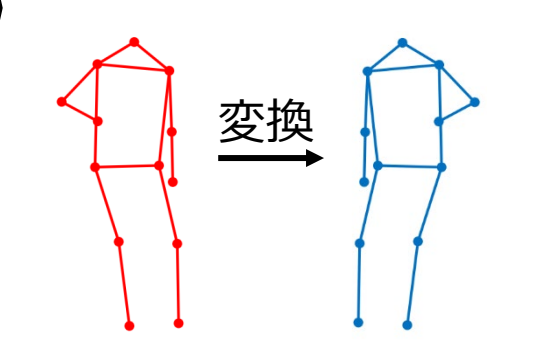
k-means [MacQueen, 1967] がベース

## セントロイド初期化

K個の<u>セントロイド</u>の 初期値をランダムに 決定



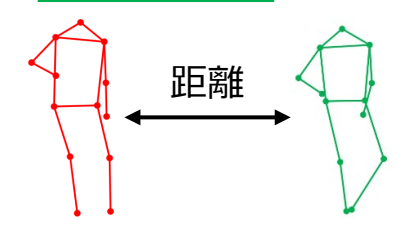




# 元サンプルと各セントロイドとの

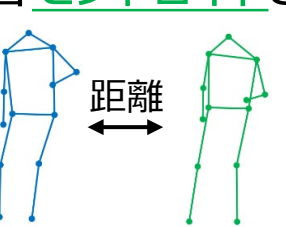
セントロイド更新

距離を計算



線対称サンプル各セントロイドとの

距離を計算



距離を比較し 小さい距離となる サンプルを用いて セントロイド更新



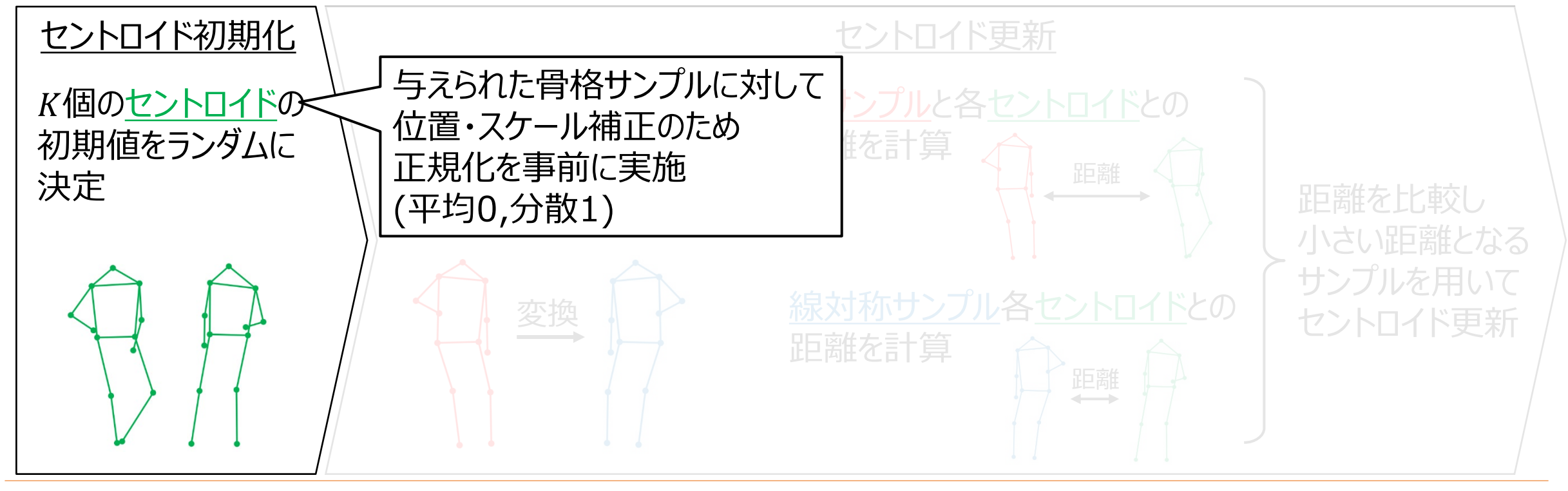
# 提案手法のアイデア(1/3)

アイデア

与えられた骨格サンプルを<u>元サンプル</u>と<u>線対称サンプル</u>へ変換することで 線対称の関係にあるかどうかを考慮しながら距離の計算を行いクラスタリング

提案手法: Line-symmetrical Sample k-means (LS k-means)

k-means [MacQueen, 1967] がベース





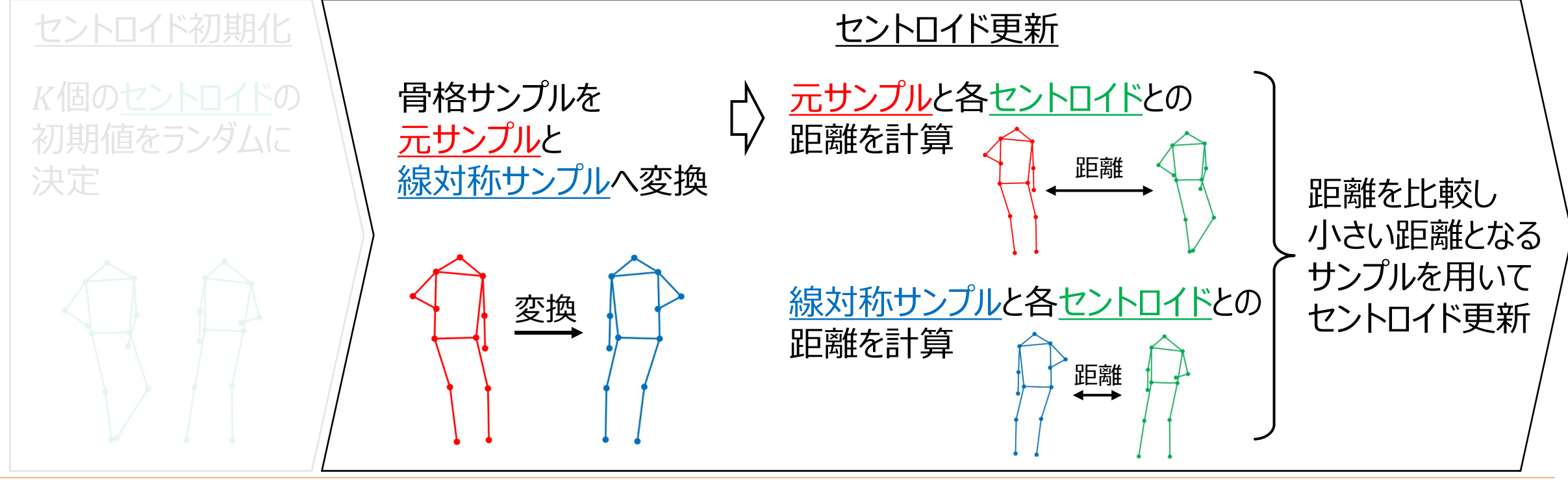
# 提案手法のアイデア(1/3)

アイデア

与えられた骨格サンプルを<u>元サンプル</u>と<u>線対称サンプル</u>へ変換することで 線対称の関係にあるかどうかを考慮しながら距離の計算を行いクラスタリング

提案手法: Line-symmetrical Sample k-means (LS k-means)

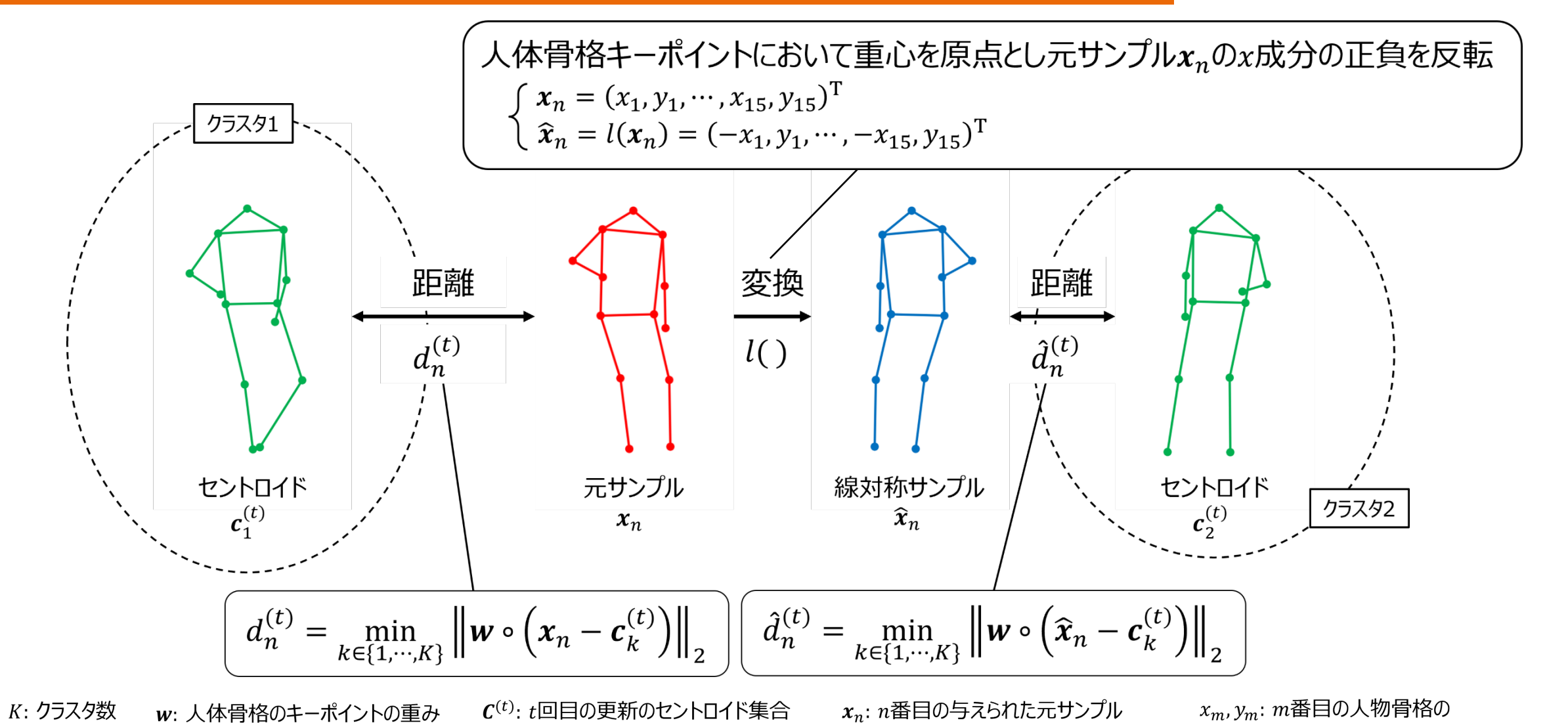
k-means [MacQueen, 1967] がベース





# 提案手法のアイデア(2/3)

手先・足先が強調されるよう設定



 $c_{\nu}^{(t)}$ : t回目の更新のk番目のセントロイド

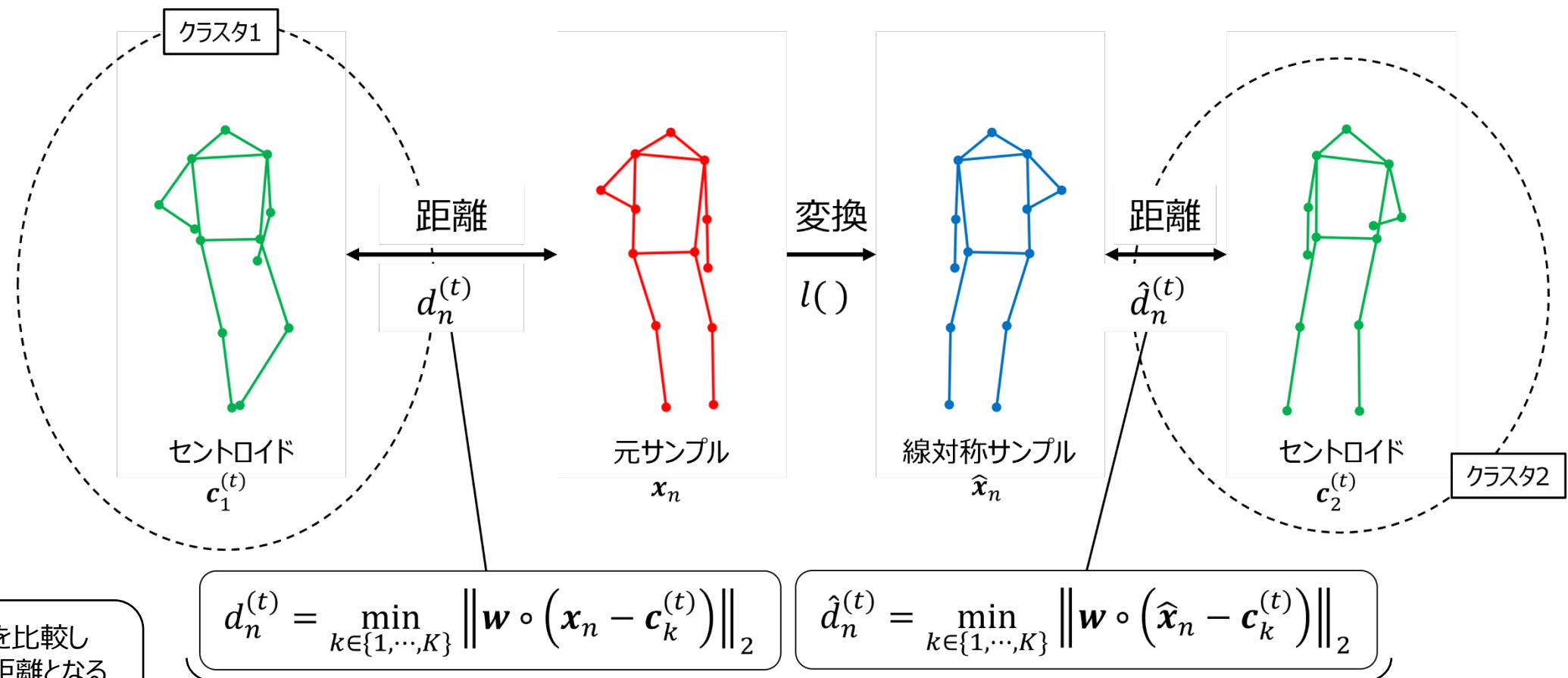
 $\hat{x}_n$ : n番目の線対称に変換されたサンプル



。: アダマール積

キーポイント座標

# 提案手法のアイデア(3/3)



距離を比較し 小さい距離となる サンプルを用いて セントロイド更新

<u>元サンプル</u>と<u>線対称サンプル</u>のどちらを セントロイド</u>更新に用いるか判定

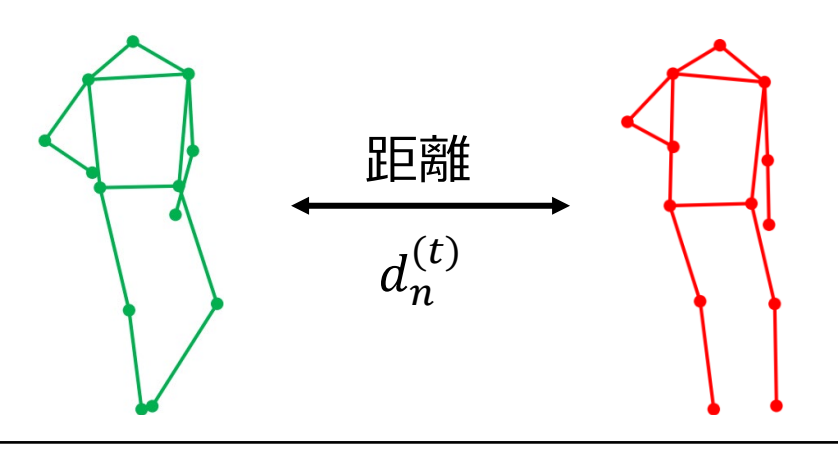
$$\cdot d_n^{(t)} \leq \hat{d}_n^{(t)}$$
のとき  $\longrightarrow$  元サンプル $x_n$ を更新に用いる

・
$$d_n^{(t)} > \hat{d}_n^{(t)}$$
のとき  $\longrightarrow$  線対称サンプル $\hat{x}_n$ を更新に用いる



## 重み

- □ 姿勢において重視すべきキーポイントを距離の計算へ反映するために重みづけ
  - ✓ 姿勢の違いが表れやすい手先・足先を強調

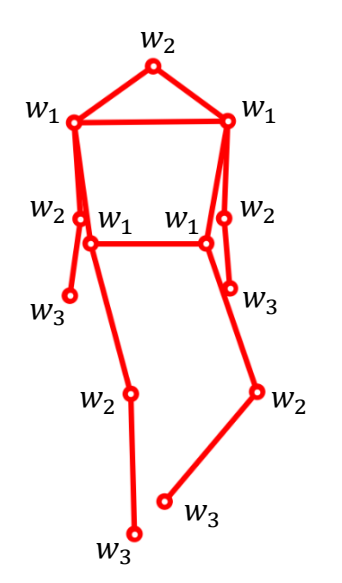


一見すると類似した姿勢だが上腕の配置が異なる

□ 両肩・両腰を基準に四肢の末端キーポイントへ 向かって重みを段階的に増やす

$$d_n^{(t)} = \min_{k \in \{1, \dots, K\}} \left\| \boldsymbol{w} \circ \left( \boldsymbol{x}_n - \boldsymbol{c}_k^{(t)} \right) \right\|_2$$

重みwを用いて アダマール積をとる



 $w_1, w_2, w_3$ :重み $\boldsymbol{w}$ の要素

## 評価実験

□ 2種類の人物データセットに対して実験

### **DeepFashion-MultiModel** [Y.Jiang+, TOG2022]

- ファッションデータセット
- 骨格サンプル
  - キーポイントのアノテーションデータを使用
- サンプル数: 1,216
- 女性ラベルのサンプルを使用

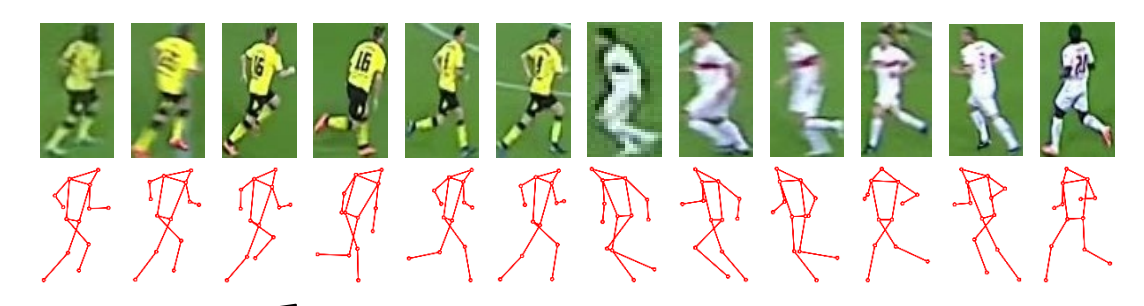


#### 目的に適さないサンプルは除外

- キーポイントが欠損
- 人物が存在せず衣服のみ

### MultiSports [Li+, ECCV2022]

- スポーツデータセット
- 骨格サンプル
  - 1動画(37秒)をフレームに分割
  - ViTpose [xu+, NIPS2022] によりキーポイント推定
- サンプル数: 13,560
- Footballラベルのサンプルを使用



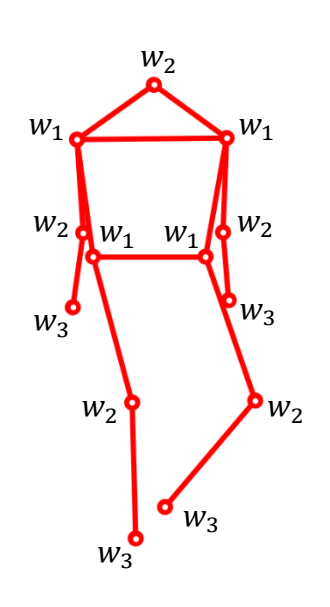
キーポイント推定時 信頼度の低いサンプルは除外



## 実験条件と評価手法

### 実験条件

- □ クラス数:8,16
- □ 比較手法
  - k-means [MacQueen, 1967]
  - **SBKM** [Su+, 2001]
  - LS k-means (提案手法)
- □ キーポイント数:15点
- □ 正規化:平均0,分散1
  - 位置・スケール補正のため
- □ キーポイントの重み
  - $(w_1, w_2, w_3) = (1.0, 2.0, 3.0)$
- □ 実験環境
  - CPU: Intel Core i7-7800X



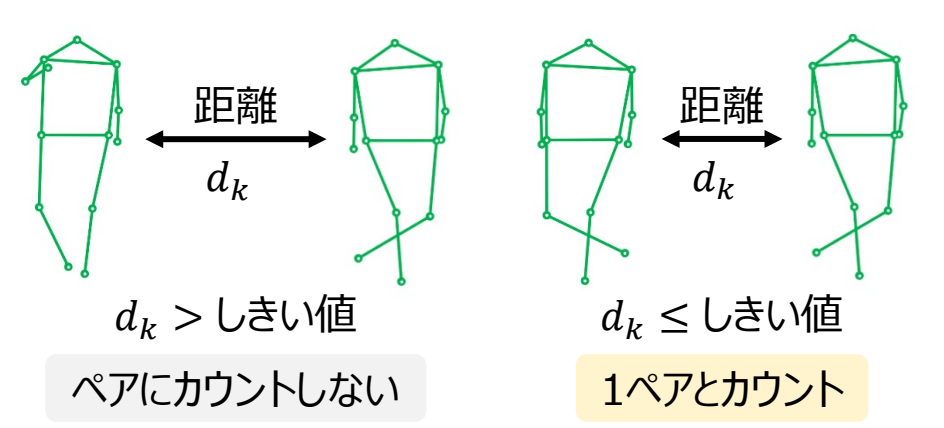
### 評価指標

#### 線対称セントロイドペア数

セントロイド集合 $oldsymbol{c}^{(L)}$ に含まれる線対称の関係を持ったセントロイド $oldsymbol{c}^{(L)}_k$ のペア数を評価

$$d_k = \min_{i \in \{1, \dots, K\}, i \neq k} \left\| \boldsymbol{w} \circ \left( l \left( \boldsymbol{c}_k^{(L)} \right) - \boldsymbol{c}_i^{(L)} \right) \right\|_2$$

 $d_k$ がしきい値以下のペアを1ペアとカウント



人間の主観と評価指標との間の差が小さくなるようなしきい値を決定

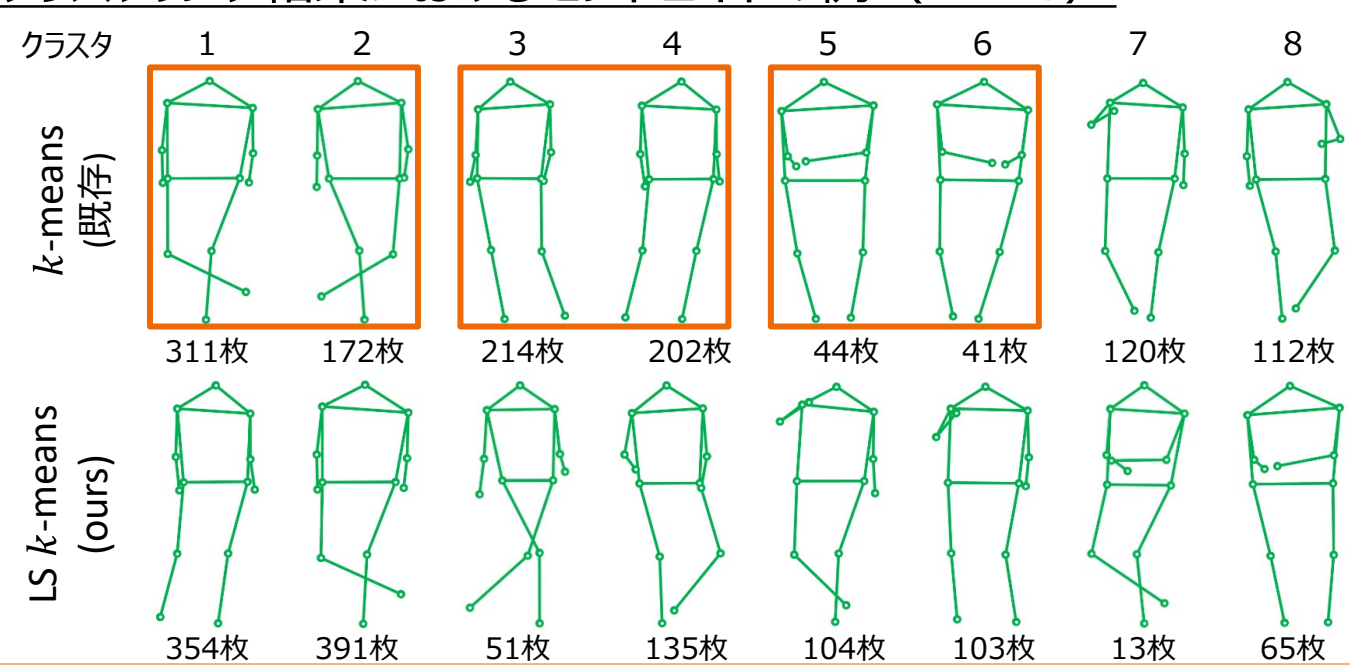


# 【実験結果】DeepFashion-MultiModel



	K = 8			K = 16		
手法	ペア数 (↓) (組)	更新数 (↓) (回)	実行時間 (↓) (ms)	ペア数 (↓) (組)	更新数 (↓) (回)	実行時間 (↓) (ms)
k-means [MacQueen, 1967]	2.99	19.04	62.7 (c) 37.6 (p)	4.92	22.43	124.1 (c) 61.5 (p)
<b>SBKM</b> [Su+, 2001]	2.65	4.83	73400.1 (p)	4.55	4.44	57884.4 (p)
LS k-means (ours)	0.18	23.95	103.9 (c) 158.7 (p)	0.8	21.83	192.0  (c)  263.1  (p)

### クラスタリング結果におけるセントロイドの例 (K=8)



#### 提案手法でセントロイドのペア数が大幅削減

サンプル数:1,216 試行回数:100 c: c言語実装

・平均値を算出 p:python実装

#### 既存手法

✗ 線対称の関係にある クラスタが3ペア発生

#### 提案手法

✓ 冗長なクラスタが抑制



## 【実験結果】MultiSports









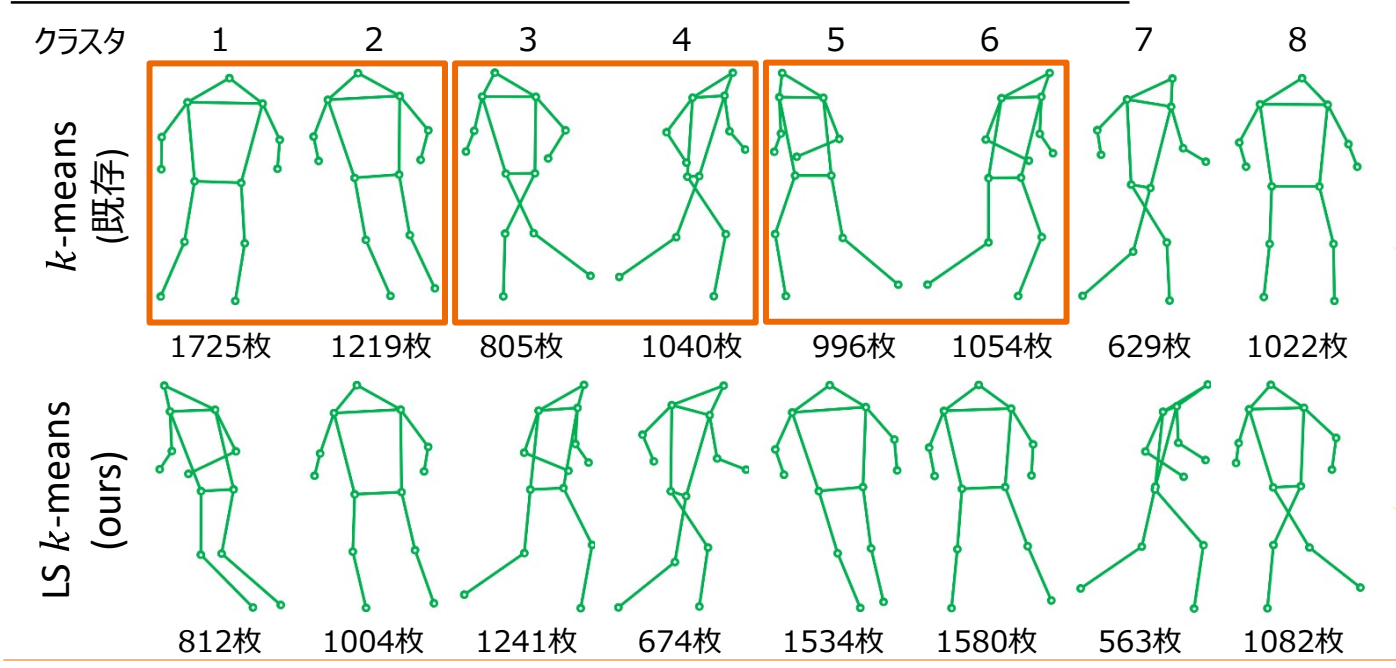






	K = 8			K = 16		
手法	ペア数 (↓) (組)	更新数 (↓) (回)	実行時間 (↓) (s)	ペア数 (↓) (組)	更新数 (↓) (回)	実行時間 (↓) (s)
k-means [MacQueen, 1967]	1.13	43.56	0.89 (c) $1.25$ (p)	3.95	50.31	1.74 (c) 2.00 (p)
<b>SBKM</b> [Su+, 2001]	1.45	69.35	137.5 (p)	4.92	115.43	229.0 (p)
LS k-means (ours)	0.0	59.61	1.69 (c) $4.22$ (p)	0.0	61.96	3.34 (c) 8.98 (p)

### クラスタリング結果におけるセントロイドの例 (K=8)



#### 提案手法でセントロイドのペア数が大幅削減

サンプル数:13,560 試行回数:100 c:c言語実装

・平均値を算出 p:python実装

#### 既存手法

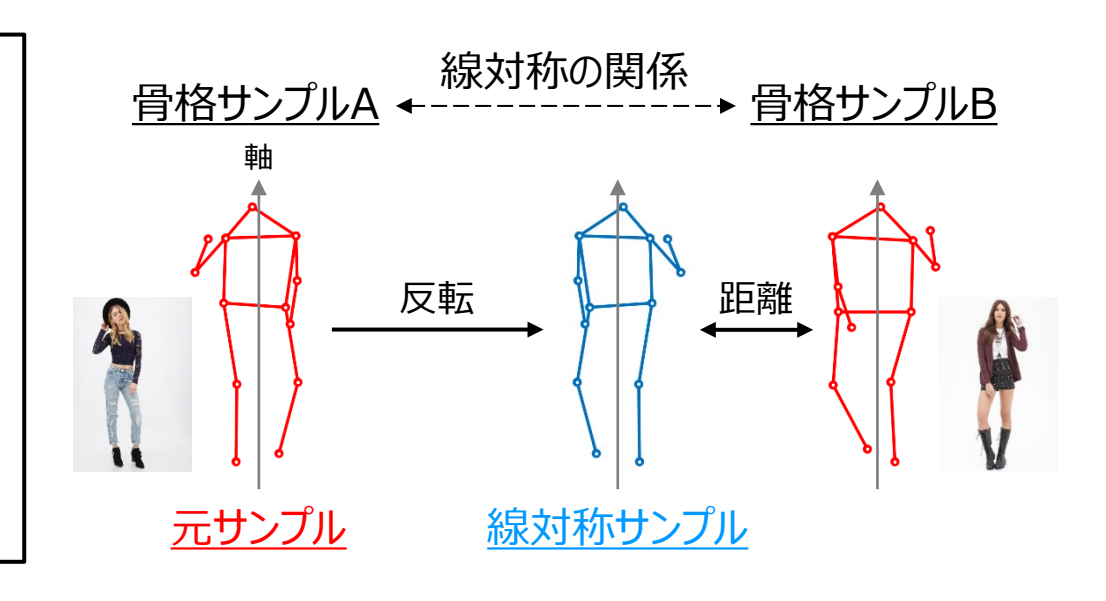
#### 提案手法

✓ 冗長なクラスタが抑制



## まとめ

大量の姿勢から姿勢の共通点でまとめられた 代表姿勢を調査するために 線対称の関係にある骨格サンプルを同一の クラスタにまとめるクラスタリング手法を設計した



### □ 実験結果

提案手法は、線対称の関係にある 骨格サンプルを同一のクラスタに まとめることができ、期待される クラスタリング結果となることを確認した

### □ 今後の課題

- ファッション分野とスポーツ分野以外の 実験の拡充
- 人間の身体における線対称の関係以外の 関係の考察

